

# 22° 晕的光强度和颜色分布

胡 波

(西北纺织工学院, 西安 710048)

## 提 要

本文首次提出了22°晕的折射—衍射理论, 计算了几种冰晶大小平均值 $\bar{a}$ 和标准差 $\sigma$ 情况下22°晕的径向光强度分布和色品坐标, 给出了相对光强度曲线和色品曲线。探讨了冰晶大小及其分布对22°晕光强度和颜色分布的影响。理论计算的22°晕光强度分布与实测结果基本相符。事实上, 22°晕是一种折射—衍射晕。

关键词: 单缝衍射; 色品坐标; 色纯度; 半峰宽度。

## 一、引 言

日晕是毛卷层云中形成的大气光学现象, 其形状有圆圈状, 弧状和光斑等, 颜色为彩色或白色。国内外对晕的研究, 一直停留在几何光学的范畴之内<sup>[1-3]</sup>。

22°晕是环绕太阳(或月亮)的一个角半径为22°的大光圈, 色序为内红外紫, 由毛卷层云中随机分布的六角棱柱状、角锥棱柱状或板状冰晶形成。长期以来, 22°晕被认为是折射晕<sup>[1-3]</sup>。1983年Konnen将几何光学理论和Fresnel公式用于22°晕形成机理和偏振的研究<sup>[4]</sup>, 1985年Lynch和Schwartz首次测量了22°晕的光强度分布<sup>[5]</sup>。Konnen和Tinbegen曾提出衍射理论可应用于22°晕, 但他们没有做进一步的工作<sup>[6]</sup>。早在1938年Airy已建立了虹的衍射理论, 揭示了附属虹的形成机制<sup>[7-8]</sup>, 然而迄今为止, 衍射效应在22°晕形成中的作用尚不清楚。

Pernter和Exner<sup>[9]</sup>, Lee, Jr.<sup>[10]</sup>和Kubesh<sup>[11]</sup>先后将色度学应用于虹的研究, 笔者将色度学用于天空和太阳的颜色问题<sup>[3,12]</sup>, Lock和Yang将色度学应用于华的研究<sup>[13]</sup>, 这些工作有助于揭示大气光学现象的特征和形成机制。但是尚未将色度学应用于日晕的研究。

本文的工作是应用衍射理论和色度学理论对22°晕的光强度和颜色分布进行分析和计算, 探讨冰晶大小及其分布对22°晕的光强度和颜色分布的影响。

## 二、理论分析

22°晕是太阳光(或月光)从六角棱柱状(或板状)冰晶的一个侧面射入, 再从相间的另一侧面(两相间侧面的夹角 $A$ 为60°)以最小偏向角出射形成的。按衍射理论,

1994年3月14日收到, 12月6日收到修改稿。

光束从冰晶出射时，必然发生矩形孔衍射，但对于六角棱柱状冰晶，其长度大约是直径的5—6倍，故而可以近似地用单缝衍射处理。单缝衍射的光强为

$$I = I_0 (\sin x / x)^2, \quad (1)$$

式中  $x = \frac{\pi a}{\lambda} \sin \theta$ ,  $\lambda$  为波长,  $a$  为缝宽,  $I_0$  为衍射光的中央最大值。缝宽  $a$  等于从冰晶出射光束的宽度，本文称  $a$  为冰晶大小。

毛卷层云中冰晶大小分布服从  $\Gamma$  分布或 Gauss 分布<sup>[6]</sup>，Gauss 分布函数为

$$f(a) = \frac{1}{\sqrt{2\pi}\sigma} \exp \left\{ -\frac{(a-\bar{a})^2}{2\sigma^2} \right\}, \quad (2)$$

式中  $\bar{a}$  为冰晶大小的平均值,  $\sigma$  为标准差。

冰晶对不同波长光的折射率不同，根据文献[14]给出的三种典型波长光的折射率和 Caugh 公式，求得冰晶的色散公式为

$$n(\lambda) = 1.29458 + \frac{6608.97}{\lambda^2} - \frac{48117.1 \times 10^4}{\lambda^4}, \quad (3)$$

单色光通过冰晶的最小偏向角由下式给出<sup>[3]</sup>:

$$\theta_b = 2 \arcsin \left\{ n(\lambda) \sin \frac{A}{2} \right\} - A, \quad (4)$$

单色光通过冰晶的衍射光强度为

$$I_1(\theta, \lambda, A) = \int_0^\infty P(\lambda) \left( \frac{\sin x'}{x'} \right)^2 f(a) da, \quad (5)$$

式中  $P(\lambda)$  为太阳光（或月光）的相对光谱功率分布<sup>[15]</sup>,  $f(a)$  为冰晶大小分布函数,  $x' = \frac{\pi a}{\lambda} \sin \theta'$ ,  $\theta' = \theta - \theta_b$ ,  $\theta$  是观察点离开太阳中心的角距离。

22° 晕的总光强度是各单色光的衍射光非相干叠加的结果

$$I(\theta, A) = k \int_{0.38}^{0.78} I_1(\theta, \lambda, A) d\lambda, \quad (6)$$

式中  $k$  为归一化系数。对于 22° 晕,  $A = 60^\circ$ 。

冰晶在空中旋转，主轴与光线斜交等原因均可导致  $\theta_b$  之增大<sup>[2]</sup>，可将其等效为  $A$  的增大，因此 22° 晕的总光强可被  $A$  的分布加权

$$I(\theta) = \frac{k \int_{A_1}^{A_2} \int_{0.38}^{0.78} I_1(\theta, \lambda, A) K(A) dA d\lambda}{\int_{A_1}^{A_2} K(A) dA}, \quad (7)$$

式中  $K(A)$  为权重分布函数,  $A_1 = 60^\circ$ 。

22° 晕颜色的色品坐标为

$$r_j(\theta) = \frac{\int_{0.38}^{0.78} I_2(\theta, \lambda) \bar{r}_j(\lambda) d\lambda}{\sum_j \int_{0.38}^{0.78} I_2(\theta, \lambda) \bar{r}_j(\lambda) d\lambda}, \quad (8)$$

式中  $I_2(\theta, \lambda)$  是  $\theta$  和  $\lambda$  的函数;  $j = x, y, z$ ;  $r_j(\theta)$  是色品坐标;  $\bar{r}_j(\lambda)$  是 CIE 1931 标准色度观察者光谱三刺激值。

### 三、计算结果和讨论

#### 1. 22°晕的光强度分布

我们利用计算机计算了不同  $\bar{a}$  和  $\sigma$  情况下 22°晕的径向相对光强度, (a)采用 Gauss 分布, 光源为太阳, 结果如图 1 和图 2 所示。

图 1 给出了不同  $\bar{a}$  和  $\sigma$  情况下 22°晕的光强度曲线。曲线(a)对应于大冰晶 ( $\bar{a} = 100 \mu\text{m}$ ), 当  $22.5^\circ < \theta < 21.4^\circ$  时, 光强度迅速衰减到零, 半峰宽度(FWHM)为  $1.1^\circ$ 。曲线(b)对应于小冰晶 ( $\bar{a} = 10 \mu\text{m}$ ), 光强度曲线下降缓慢, FWHM 为  $3.3^\circ$ 。由图可见,  $\bar{a}$  相同时,  $\sigma$  越大光强度曲线下降越缓慢。

几何光学理论给出, 当  $\theta < 21.4^\circ$  ( $\lambda = 0.780 \mu\text{m}$  红光的最小偏向角) 时, 光强突然变为零<sup>[6]</sup>, 这显然是不合理的。类似的问题在 Descartes 的虹理论中也存在<sup>[3]</sup>。光强曲线向内侧延伸以及小冰晶的 FWHM 较大冰晶的 FWHM 为大, 是 22°晕中衍射效应存在的有力证据。光强度曲线向内侧延伸的程度决定于  $\bar{a}$  和  $\sigma$ 。

利用(7)式, 我们计算了乘以权重分布系数  $K(A)$  之后 22°晕的光强度, 同时考虑了太阳(或月亮)光盘的视大小(半径取  $0.27^\circ$ ), 结果如图 2 所示。曲线(a)和(b)分别对应于不同的  $\bar{a}$  和  $\sigma$ , 但  $A$  的取值范围均为  $60$ — $74^\circ$ 。曲线(a)的峰值位于  $22.8^\circ$ , FWHM 为  $3.6^\circ$ , 曲线向内侧延伸到  $18^\circ$ , 向外侧延伸达  $33^\circ$  以上。曲线(b)的峰值位于  $22.5^\circ$ , FWHM 为  $2.5^\circ$ , 曲线向内侧延伸到  $20^\circ$ , 向外侧延伸达  $28^\circ$  以上。

曲线(c)是 Lynch 和 Schwatz 根据 1979 年 10 月 3 日在美国加利福尼亚州的 Malibu 拍摄的月晕照片, 经过测量得到的 22°晕的光强分布<sup>[5]</sup>, 峰值位于  $22.8^\circ$ , FWHM 为  $3.4^\circ$ , 光强向内侧延伸到  $19^\circ$ , 向外侧延伸达  $34^\circ$  以上。

显然, 理论模拟计算结果和实测结果基本相符。实际的冰晶云中常常同时存在几种

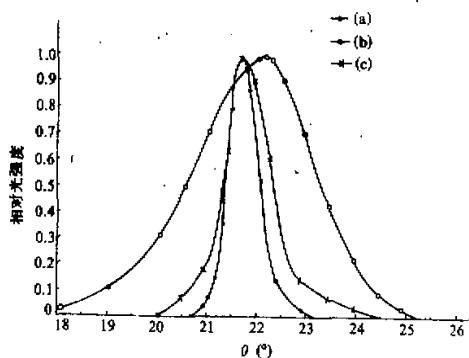


图 1 不同  $\bar{a}$  和  $\sigma$  条件下 22°晕的相对光强度曲线

(a)  $\bar{a} = 100 \mu\text{m}$ ,  $\sigma = 10 \mu\text{m}$ ; (b)  $\bar{a} = 10 \mu\text{m}$ ,  $\sigma = 1 \mu\text{m}$ ;  
(c)  $\bar{a} = 100 \mu\text{m}$ ,  $\sigma = 50 \mu\text{m}$

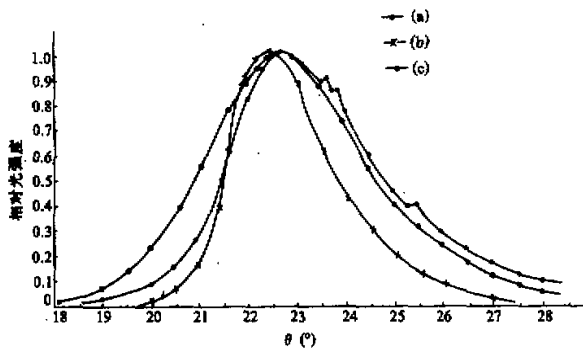


图 2 模拟计算和实测结果的比较  
(a)  $\bar{a} = 10 \mu\text{m}$ ,  $\sigma = 1 \mu\text{m}$ ; (b)  $\bar{a} = 50 \mu\text{m}$ ,  $\sigma = 25 \mu\text{m}$ ; (c) 实测结果

不同类型的冰晶，大小和分布亦不同<sup>[16]</sup>，根据这些条件，可以求出更加符合实际的某些特定的冰晶云形成的 $22^\circ$ 晕的光强度分布和颜色分布。

## 2. $22^\circ$ 晕的颜色分布

根据(8)式我们计算了不同 $\bar{a}$ 和 $\sigma$ 情况下 $22^\circ$ 晕的颜色分布，绘出了色品曲线，结果如图3、图4和图5所示。

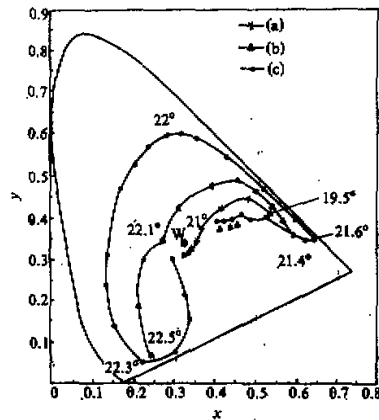


图 3 三种 $\bar{a}$ 冰晶形成的 $22^\circ$ 晕的色品曲线  
(a)  $\bar{a} = 10 \mu\text{m}$ ,  $\sigma = 1 \mu\text{m}$ ; (b)  $\bar{a} = 50 \mu\text{m}$ ,  $\sigma = 5 \mu\text{m}$ ; (c)  $\bar{a} = 100 \mu\text{m}$ ,  $\sigma = 10 \mu\text{m}$

图3中给出了三种 $\bar{a}$ 冰晶的色品曲线( $\sigma / \bar{a}$ 均为0.1)，由图可见，大冰晶( $\bar{a} = 100 \mu\text{m}$ )形成的 $22^\circ$ 晕七色俱全，色纯度高；小冰晶( $\bar{a} = 10 \mu\text{m}$ )形成的晕，除内缘呈红色外其余部分为白色。

图4给出了三种 $\sigma$ 的情况下( $\bar{a}$ 均为 $100 \mu\text{m}$ )的 $22^\circ$ 晕的色品曲线。图中显示，冰晶大小分布的离散度愈大，色纯度愈小。图5中曲线(a)和(c)为计人 $A$ 的分布后 $22^\circ$ 晕的色品曲线，将它们与图3中相对应的曲线对照，可知当计人 $A$ 的分布时颜色纯度变小。图5中曲线(b)和(d)均为当冰晶大小服从 $\Gamma$ 分布时 $22^\circ$ 晕的色品曲线，将它们与图3中对应曲线相比，可知当冰晶大小为 $\Gamma$ 分布时 $22^\circ$ 晕的色纯度变小。

## 四、结 论

由上述工作可以得到如下结论：

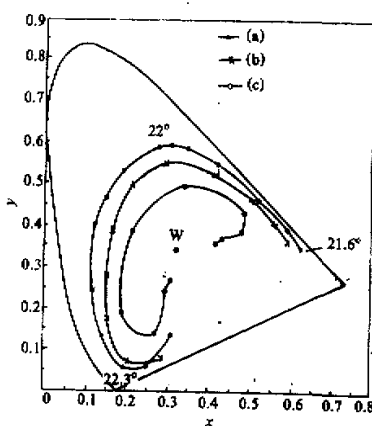


图4 三种  $\sigma(\bar{a}=100 \mu\text{m})$  的冰晶形成的 22° 晕的色品曲线

(a)  $\bar{a}=100 \mu\text{m}$ ,  $\sigma=10 \mu\text{m}$ ; (b)  $\bar{a}=100 \mu\text{m}$ ,  $\sigma=30 \mu\text{m}$ ; (c)  $\bar{a}=100 \mu\text{m}$ ,  $\sigma=50 \mu\text{m}$

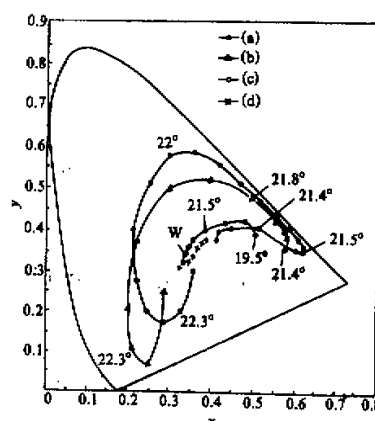


图5 计入冰晶A的分布时 22° 晕的色品曲线

(a)  $\bar{a}=100 \mu\text{m}$ ,  $\sigma=10 \mu\text{m}$ ; (b)  $\bar{a}=100 \mu\text{m}$ ,  $\Gamma$  分布; (c)  $\bar{a}=10 \mu\text{m}$ ,  $\sigma=1 \mu\text{m}$   
(d)  $\bar{a}=10 \mu\text{m}$ ,  $\Gamma$  分布

22° 晕的角位置主要由折射效应决定, 而光强分布和颜色特征由折射和衍射效应共同决定。实际的 22° 晕, 当  $\theta < 21.4^\circ$  时光强并不突然变为零以及向外侧( $\theta > 22.3^\circ$ )延伸是衍射效应存在的确凿证据。目前国内外将晕分为三类: 反射晕, 折射晕, 反射—折射晕<sup>[1-2]</sup>, 本文的工作表明, 某些折射晕本质上是折射—衍射晕。冰晶大小及其分布与 22° 晕的颜色呈明显相关性: 冰晶大小与颜色纯度呈正相关性; 冰晶大小分布的离散度与颜色纯度呈负相关性。22° 晕的光强度和颜色分布与冰晶大小及其分布密切相关, 从而为研究冰晶云提供了一条新途径。

本文未论及背景光对 22° 晕的光强度和颜色分布的影响。背景光使 22° 晕的光强分布发生变化, 并使颜色纯度下降。

## 参 考 文 献

- [1] Lynch, D.K.著, 1979, 阮忠家译, 大气晕圈, 科学, 6, 79—88。
- [2] Greenler, R.著, 黄必译, 1984, 虹·晕·宝光, 气象出版社, 80—82。
- [3] 胡 波, 1993, 大气光象研究, 陕西科学技术出版社, 147—150。
- [4] Konnen, G.P., 1983, Polarization and intensity distribution of refraction, *J. Opt. Soc. Amer.*, 73(12), 1629—1640.
- [5] Lynch, D.K. and Schwartz, P., 1985, Intensity profile of the 22° halo, *J. Opt. Soc. Amer.*, 2(4), 584—589.
- [6] Koneen, G.R. and Tinbergen, J., 1991, Polarimetry of a 22° halo, *App. Opt.*, 30(24), 3382—3400.
- [7] Humphreys, W.J., 1964, Physics of the Air, New York: Pover, 312—325.
- [8] Walker, J.D., 1976, Multiple rainbow from single drops of water and other liquids, *J. Phys. Amer.*, 44(5), 421—433.
- [9] Pernier, J. and Exner, F., 1992, Meteorologische Optik, Vienna: w Braamuler, 799.
- [10] Lee, R.L., Jr., 1991, What are the colors of the rainbow? *App. Opt.*, 30(24), 3401—3407.
- [11] Kubesh, R.J., 1992, Computer display of chromaticity coordinates with the rainbow as an example, *J. Phys.*

- Amer.*, 60(10), 919—923.
- [12] 胡 波, 1990, 天空光和太阳光的颜色问题, 物理, 19(11), 647—653。
- [13] Lock, J.A. and Yang, L., 1991, Mie theory model of the corona, *App. Opt.*, 30(24), 3408—3414.
- [14] J.C. 强生著, 王鹏飞译, 1960, 物理气象学, 气象出版社, 157—159。
- [15] Thekaekara M.P. and Orummod A.J., 1971, The solar constant and the solar spectrum measured from a research dierate at 38000 feet, *Nature Phys. Sci.*, 6, 229—234.
- [16] Tape, W., 1983, Some ice crystal that made halos, *J. Opt. Soc. Amer.*, 73(12), 1641—1645.

## Distribution of Radial Intensity and Colors in the 22° Halo

Hu Bo

(Northwest Institute of Textile Science and Technology, Xi'an 710048)

### Abstract

A theory of refraction-diffraction on the 22° halo is presented in the paper. Radial intensity profile and chromaticity coordinates of the 22° halo are calculated for a few mean values  $\bar{a}$  of and standard errors  $\sigma$  of various ice crystal size. The relative intensity curve and chromaticity curve of the 22° halos are showed that simulated results are in agreement with the measured results. The influence of the ice crystals size and distribution on intensity and colors of the 22° halo is discussed. We are convinced that 22° halo is a refraction-diffraction halo.

**Key words:** diffraction from single slit; Gaussian distribution; the full width at one half of maximum intensity (FWHM); chromaticity coordinates; purity of color.